

水热法制备二氧化铈纳米空心球
及其吸附性能研究*

张 姣 江学良 余 露 陈江涛

(武汉工程大学材料科学与工程学院 武汉 430073)

摘要 用六水硝酸铈($\text{Ce}(\text{NO}_3)_3 \cdot 6\text{H}_2\text{O}$)作为铈源,以聚乙烯吡咯烷酮(PVP)为表面活性剂,在乙二醇的水溶液中通过水热法制备了单分散、粒径较均一的 CeO_2 纳米空心球。利用傅立叶变换红外分析(FT-IR)、扫描电子显微镜(SEM)、透射电子显微镜(TEM)、X射线衍射(XRD)、X射线能谱(XPS)、 N_2 等温吸附-解吸及紫外-可见光谱(UV-Vis)来表征 CeO_2 纳米空心球并研究其吸附性能。结果表明,水热法制备的 CeO_2 空心球是由立方萤石结构的纳米颗粒组装成的介孔中空材料,孔径分布窄,尺寸约为3~5 nm,空心球的直径约为400 nm,壁厚30 nm左右,空心球的BET比表面积为 $76.86 \text{ m}^2 \cdot \text{g}^{-1}$ 。讨论了 CeO_2 空心球的制备机理,所制备的 CeO_2 空心球对重铬酸钾溶液的吸附率可达到70%,约为 CeO_2 粉末的3倍。

关键词 金属材料, CeO_2 纳米空心球, 水热法, 吸附性能

分类号 TB383

文章编号 1005-3093(2016)05-0365-07

Ceria Hollow Nanospheres Synthesized by Hydrothermal Method and Their Adsorption Capacity

ZHANG Jiao JIANG Xueliang** YU Lu CHEN Jiangtao

(School of Materials Science and Engineering, Wuhan Institute of Technology, Wuhan 430073, China)

*Supported by National Natural Science Foundation of China No.51273154, the Natural Science Foundation of Hubei No. 2011CBD220, the Graduate Student Education Innovation Foundation of Wuhan Institute of Technology No. CX2014064.

Manuscript received August 4, 2015; in revised form September 8, 2015.

**To whom correspondence should be addressed, Tel: 15802730640, E-mail: sjtjxl@163.com

ABSTRACT Uniform-sized and monodisperse ceria (CeO_2) hollow nanospheres were synthesized in a ethylene glycol aqueous solution with cerium nitrate hexahydrate ($\text{Ce}(\text{NO}_3)_3 \cdot 6\text{H}_2\text{O}$) as cerium sources and polyvinylpyrrolidone (PVP) as surfactant. The synthesized products were characterized by means of Fourier transform infrared spectroscopy (FTIR), scanning electron microscope (SEM), transmission electron microscope (TEM), X-ray photoelectron spectrum (XPS), X-ray diffraction (XRD), N_2 adsorption-desorption and UV-Vis. The results show that the porous CeO_2 hollow nanospheres composed of small nanoparticles with cubic fluorite structure; the average diameter and wall thickness of the CeO_2 hollow nanospheres were about 400nm and 30 nm respectively; they have a high specific surface area of $76.86 \text{ m}^2 \cdot \text{g}^{-1}$ and BJH pore size about 3~5 nm. On the basis of time-dependent experiment, the relevant formation mechanism was proposed. The ceria hollow nanospheres show an excellent adsorption rate about 70% of heavy metal ions at room temperature for $\text{Cr}(\text{VI})$ solutions, which is 3 times higher than that of ceria powder.

KEY WORDS metallic materials, ceria hollow nanospheres, hydrothermal method, adsorption capacity

稀土化合物是一类重要的无机材料,由于独特的4f层电子结构和5d空轨道,使其具有优异的光、

电、磁学性能。二氧化铈(CeO_2)是使用最广泛的稀土金属氧化物之一,具有N型半导体性质,且Ce元素存在 Ce^{3+} 与 Ce^{4+} 的价态变化,使其具有良好的储存和释放氧气的能力^[1]。近几年已经通过各种方法成功地制备了各种纳米结构的 CeO_2 ,如纳米颗粒^[2]、纳米棒^[3]、纳米线^[4]、纳米管^[5]和纳米空心球^[6]等,纳米空心球因为其独特的中空结构、比表面积大,在催化

* 国家自然科学基金51273154,湖北省自然科学基金2011CBD220和武汉工程大学研究生教育创新基金CX2014064资助项目。

2015年8月4日收到初稿;2015年9月8日收到修改稿。

本文联系人:江学良,教授

DOI: 10.11901/1005.3093.2015.440

剂、发光材料和紫外阻隔材料方面的应用研究已被广泛报道^[4,6], 然而关于 CeO₂ 空心球吸附性能的报道却比较少。

已经报道的制备 CeO₂ 空心球的方法各有不同, Guo 等^[7]选用 SiO₂ 凝胶为模板, 六水硝酸铈在 SiO₂ 表面进行热分解制得 CeO₂ 空心球, 该方法制备的 CeO₂ 空心球表现出了很强的紫外吸收能力, 可用作防紫外线材料。Chen 等^[8]以通过乳液聚合的方法制备的聚苯乙烯(PS)微球作为模板, 制备了单分散、粒径均匀的 CeO₂ 介孔空心球, 其直径约为 190 nm, 壁厚约 15 nm, 并对其制备机理进行了分析。Wang 等^[9]用水热合成的碳球为模板制备了尺寸为 150 nm 的 CeO₂ 纳米空心球, 空心球的 BET 比表面积为 144.1 m²/g。相对于模板法, 水热合成一步法越来越被人们所关注, 因为其制备工艺简单, 能耗低, 产率高, 但是该方法对反应条件要求高, 产物的形貌与微球的直径很难控制。Liu 等^[10]用水热法制备了球径为 200 nm、壁厚为 20~30 nm 的介孔-壳结构的 CeO₂ 空心球, 研究了反应过程中聚乙烯吡咯烷酮(PVP)和 H₂O₂ 的用量对空心球形貌和结构的影响。

本文采用水热法制备 CeO₂ 纳米空心球, 选用 PVP 作为表面活性剂, 乙二醇的水溶液作为溶剂, 反应生成的前驱体纳米粒子在表面活性剂作用下层层自组装形成实心球, 由 Ostwald 熟化机理最后形成粒径均一、单分散的空心球。该方法工艺简单, 易操作。制备出的 CeO₂ 纳米空心球对重铬酸钾溶液有良好的吸附效果。

1 实验方法

1.1 实验原料

六水硝酸铈(Ce(NO₃)₃·6H₂O, 99.5%), AR, 阿拉丁化学有限公司; 聚乙烯吡咯烷酮(PVP, K-30), AR, 国药集团化学试剂有限公司; 乙二醇(C₂H₆O₂), AR, 国药集团化学试剂有限公司; 冰乙酸(CH₃COOH, 99.5%), AR, 国药集团化学试剂有限公司; 甲醇(CH₃OH, 99.5%), AR, 上海振兴化工一厂; 无水乙醇(CH₃CH₂OH, 99.7%), AR, 天津博迪化工有限公司; 氧化铈(CeO₂, 99.99%)粉末, AR, 国药集团化学试剂有限公司; 去离子水(H₂O), 实验室自制。

1.2 前驱体和 CeO₂ 空心球的制备

取 1 g 六水硝酸铈, 10 mL 去离子水和 20 mL 乙二醇混合于玻璃烧杯中, 室温下磁搅拌使其混合均匀, 搅拌过程中滴加 1 mL 冰乙酸, 并将 0.8 g PVP 缓慢加入到混合溶液中, 使其完全溶解。将混合均匀的溶液转入容积为 50 mL 的聚四氟乙烯内衬高压反

应釜中, 放入烘箱, 180℃ 反应 22 h。反应完成后冷却至室温, 分别用乙醇、甲醇和去离子水离心洗涤两次, 50℃ 真空干燥, 得到浅灰色粉末前驱体样品。将前驱体粉末在马弗炉中 500℃ 煅烧 2 h, 得到浅黄色 CeO₂ 空心球粉末。

1.3 测试与表征

采用 Nicolet 6700 型傅立叶红外分析测试仪表征前驱体和煅烧后样品的红外吸收光谱。采用 JSM-5510LV 型扫描电子显微镜和 JEM-2100 型透射电子显微镜表征空心球样品的形貌结构和尺寸。采用 Bruker D8-Advance 型 X 射线衍射仪表征前驱体和煅烧后样品的晶型。用 SAM-800 型光电子能谱仪对煅烧后的样品进行表面分析。利用 TriStar 3000 型比表面积及孔径分析仪, 得到液氮温度下 CeO₂ 空心球的 BET 比表面积和 BJH 孔径分布。

1.4 吸附实验

取 100 mL 浓度为 100 mg/L 的重铬酸钾溶液模拟废水, 用甲酸调节溶液 pH 值。称取一定量的 CeO₂ 粉末、水热法制备的前驱体样品以及煅烧后的 CeO₂ 空心球分别加入溶液中进行吸附实验。实验过程中始终保持磁力搅拌。定时将一定量的溶液取出, 经离心机离心后取上层清液进行吸光度检测。

采用 Agilent 8453 型紫外-可见分光光度计, 检测初始溶液的吸光度 A₀ 以及吸附后上层清液的吸光度 A_t。采用测定吸收值的方法对溶液的浓度进行定量测定。通过公式(1)计算出吸附率(R)来表示水溶液中 Cr(VI) 的吸附率。

$$R = \frac{A_0 - A_t}{A_0} \times 100\% \quad (1)$$

式中, A₀ 为 Cr(VI) 初始溶液的吸光度; A_t 为 Cr(VI) 溶液在 t 时的吸光度

2 结果与讨论

2.1 FT-IR 分析

图 1a, b 分别为前驱体和 500℃ 煅烧 2 h 后样品的红外吸收光谱。图 1a 中位于 3483 cm⁻¹ 处的吸收峰是 OH 键的吸收峰, 2928 cm⁻¹ 对应的是一 CH₂—、—CH₃ 上的 C-H 振动吸收峰, 在 1563 cm⁻¹ 和 1401 cm⁻¹ 处对应的是 COO⁻ 对称与不对称伸缩振动的吸收峰, 786 cm⁻¹ 处是金属氢氧化物的特征吸收峰, 位于 505 cm⁻¹ 的吸收峰为 Ce-O 的特征吸收峰, 故水热反应后生成的前驱体不是纯的 CeO₂, 可能还含有氢氧化铈 [Ce(OH)₃] 和乙酸铈 [Ce(CH₃COO)₃] 等物质^[11,41]。图 1b 中位于 3482 cm⁻¹ 和 1618 cm⁻¹ 处的吸收峰为一 OH 的伸缩振动和弯曲振动吸收峰, 可能是由于样品在保

存过程中吸收了空气中的水分引起。在 1382 cm^{-1} 处的峰对应的是 Ce-O-Ce 的伸缩振动峰。位于 438 cm^{-1} 的吸收峰为 Ce-O 的伸缩振动峰^[11], 与 CeO_2 的标准红外光谱图比对后相符合, 说明煅烧后所得的产物为较纯的 CeO_2 ^[8]。

2.2 XRD 分析

图 2a, b 分别为前驱体样品和煅烧后 CeO_2 空心球的 XRD 图谱。从图 2a 可以看到, 水热法制备的前驱体物质不是纯的 CeO_2 , 还出现其他物质的衍射峰, 可能是几种物质的混合相, 与红外测试的结果一致(图 1a)。从图 2b 可知, 样品在 500°C 下煅烧 2 h 后出现了非常明显的特征衍射峰。在 $2\theta=28.5^\circ$ 、 33.1° 、 47.5° 、 56.3° 有强烈的衍射峰, 分别对应(111)、(200)、(220)、(311)晶面, 与 CeO_2 的标准衍射卡(JCPDS NO.34-0394)一致, 除此之外还可见(222)、(400)和(331)晶面衍射峰, 由此可以推断出样品是结晶完善的立方萤石结构 CeO_2 。而且衍射峰尖锐, 无杂峰存在, 所以制得的样品结晶度较高^[12-14]。

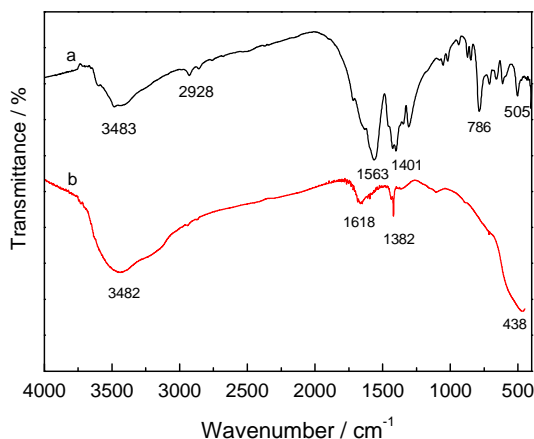


图 1 前驱体和煅烧后 CeO_2 空心球的 FT-IR 光谱

Fig.1 FT-IR spectra of the precursor (a) and CeO_2 hollow spheres after calcination (b)

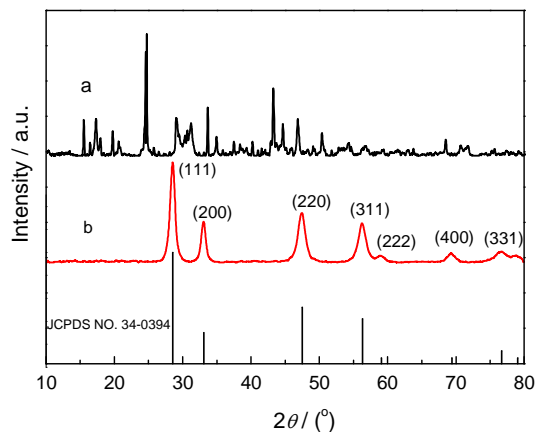


图 2 前驱体和煅烧后 CeO_2 空心球的 XRD 图谱

Fig.2 XRD spectra of the precursor (a) and CeO_2 hollow spheres (b)

2.3 形貌分析

图 3 是水热法制备的 CeO_2 空心球样品的扫描电镜(SEM)和透射电镜(TEM)图。如图 3a 所示, 通过水热合成法成功地制备了单分散、粒径均一的纳米 CeO_2 空心球。其空心球的直径约为 400 nm , 球形度完好。从图 3b 可以看到, 样品为中心部分颜色较浅, 而外层环形颜色较深中空球, 空心部分直径约为 340 nm , 空心球的壁厚约为 30 nm 。

为了研究水热法制备 CeO_2 空心球的机理, 保持其他的条件不变, 分别观察水热反应时间 6, 12, 16, 22 h CeO_2 空心球形貌的变化。从图 4a, b 可以看到, 反应时间为 6 h, 制备的微球是单分散、直径 $350\sim 400\text{ nm}$ 的实心球。当反应时间为 12 h 时, 从图 4c, d 可以看到, 制备的 CeO_2 球径增大, 大约在 $600\sim 700\text{ nm}$, 球表面没有粘连, 球径比较均匀, 且通过 TEM 图可以看到制备的微球出现了部分空心结构, 空心部分直径约 100 nm 。反应时间延长到 16 h(图 4e, f), 表面出现了很多小的颗粒和粒径不均的小球, 大球的内部颜色较浅, 内部空心部分的直径增大, 但是外部的壁很厚, 而且出现了一些实心的前驱体小球。是由于熟化过程在此阶段开始, 内部的纳米粒子通过孔隙进入到溶液中, 在溶液中再重组形成实心小球^[6, 10]。继续增加反应时间到 22 h, 从图 4g, h 可以看到, 制

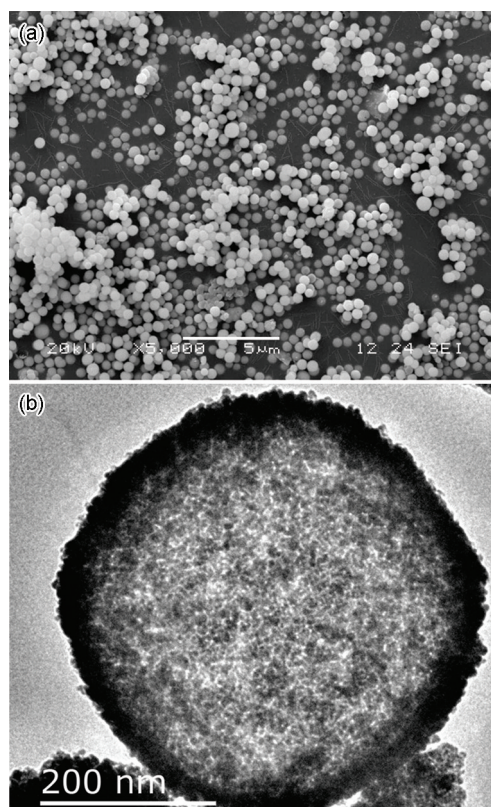


图 3 纳米 CeO_2 空心球的 SEM 和 TEM 照片

Fig.3 SEM (a) and TEM (b) images of the obtained ceria hollow spheres

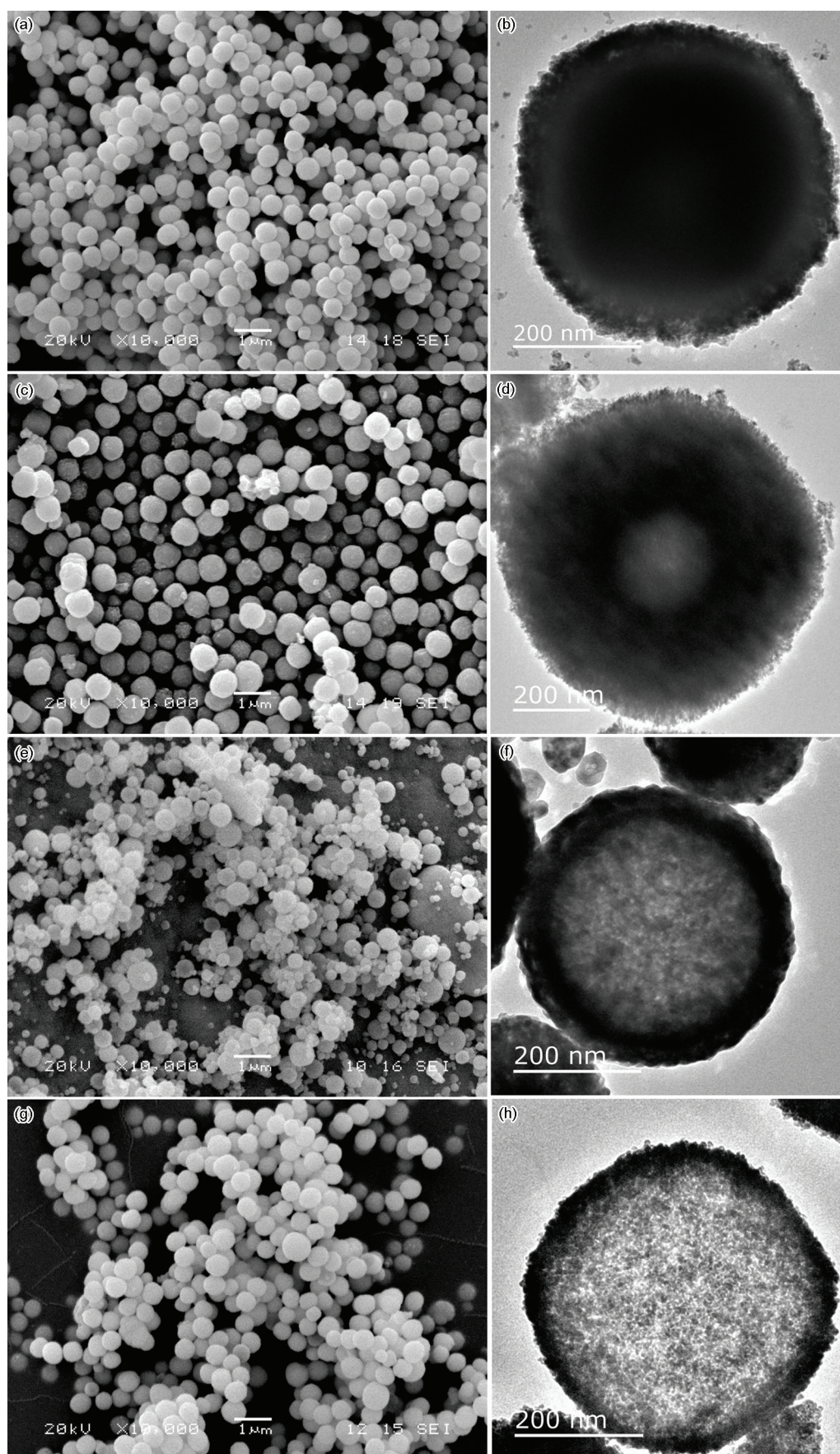


图4 不同反应时间制备的CeO₂样品的SEM和TEM像

Fig.4 SEM and TEM images of the obtained CeO₂ samples collected at different reaction time (a, b) 6 h; (c, d) 12 h; (e, f) 16 h; (g, h) 22 h

备的样品球径均一、单分散、球直径约 400 nm, 球中心部分颜色很浅, 外部环形颜色较深, 说明制备的样品为空心球, 球内部空心部分直径约 340 nm, 球形比较规整, 球壁厚约 30 nm。

2.4 XPS 分析

图 5a, b 分别为 CeO_2 空心球的 XPS 宽扫描谱和 Ce3d 扫描谱。从图 5a 可以看出, 在 XPS 全谱中存在 Ce3d 峰、O1s 峰和 C1s 峰, 除此之外未出现其他元素峰。其中 C1s 来自用于校正电子结合能的污染碳, 由此证明产物中只存在 Ce 元素和 O 元素。图 5b 是 CeO_2 空心球的 Ce3d 谱, 其中, 在 884.2 eV 和 889.8 eV 处的峰对应于 $\text{Ce}^{4+}(\text{Ce}3d\ 5/2)$ 的峰位置, 900.6 eV 和 918.2 eV 处的峰对应于 $\text{Ce}^{4+}(\text{Ce}3d\ 3/2)$ 的峰位置, 证明了样品中 Ce 主要以 +4 价存在^[6, 10, 11]。而在图 5a 中 529.3 eV 处出现 O 的特征峰, 表明样品中的氧为 O^{2-} , 进一步证明实验所得产物组成为 CeO_2 ^[15]。

2.5 比表面积和孔径分布分析

图 6a, b 分别为 CeO_2 空心球的 N_2 吸附-解吸等温

曲线和通过 BJH 方法计算得到的相对应的孔径分布曲线。从 CeO_2 空心球的 N_2 吸附-解吸等温曲线, 得到 CeO_2 空心球的 BET 比表面积为 $76.86\ \text{m}^2\text{g}^{-1}$ 。图 6b 为采用 BJH 方法获得的 CeO_2 空心球孔径分布曲线, 可以看出 CeO_2 空心球为介孔结构, 孔径主要分布为 3~5 nm, 孔径分布均匀。从图 6 可知, 水热法制备的 CeO_2 空心球为比表面积大的介孔材料^[14-16]。

2.6 水热法制备 CeO_2 空心球机理分析

根据已经报道的一些文献, 结合得到的实验数据, 对水热法制备 CeO_2 纳米空心球的机理进行分析。其机理如图 7 所示, Ce^{3+} 在乙二醇的水溶液中高温高压反应氧化生成 CeO_2 , 同时 Ce^{3+} 与水分解出的 OH^- 以及冰乙酸中 CH_3COO^- 反应生成 $\text{Ce}(\text{OH})_3$ 和 $\text{Ce}(\text{CH}_3\text{COO})_3$ 等前驱体纳米粒子^[1, 4, 8]。溶液中的表面活性剂吸附在前驱体纳米粒子的表面, 由于各向同性生长, 纳米粒子在表面活性剂的作用下层层自组装形成实心球, 因为此时所需的活化能最低^[1, 6]。在形成球的过程中, 实心球内部的粒子会比球外部的尺寸小, 结晶度低, 密度也会小, 基于 Ostwald 熟

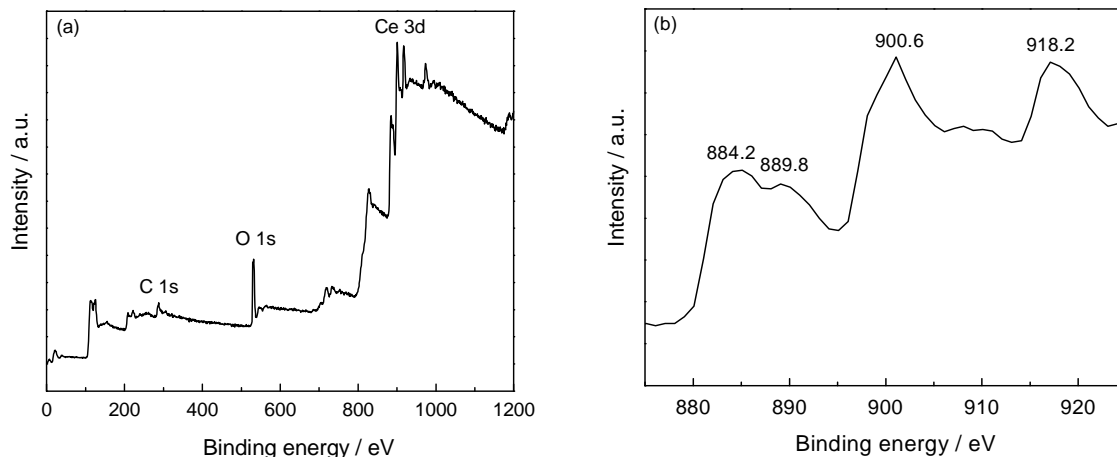


图 5 CeO_2 空心球的 XPS 全谱和 Ce3d 谱

Fig.5 XPS wide spectrum (a) and Ce3d spectrum (b) of CeO_2 hollow nanospheres

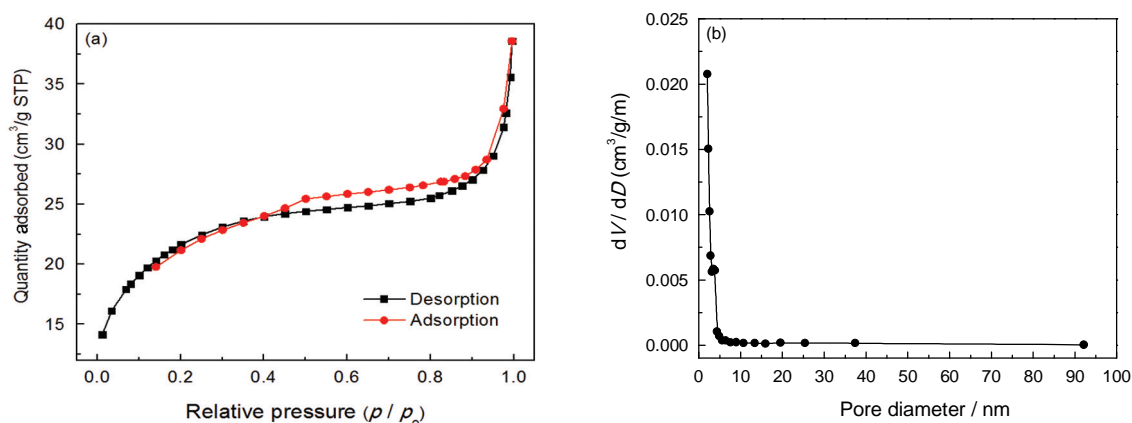
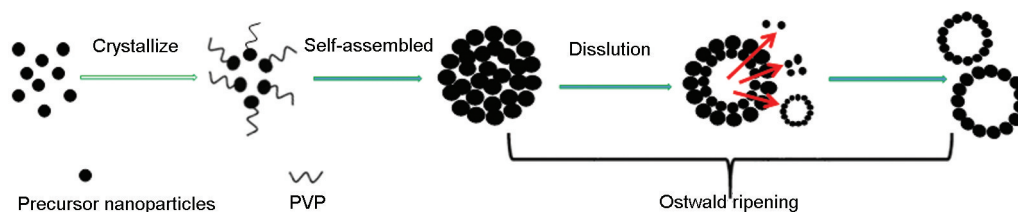


图 6 CeO_2 空心球的 N_2 吸附-解吸等温曲线以及 BJH 孔径分布曲线

Fig.6 N_2 adsorption-desorption isotherm of the CeO_2 hollow spheres (a) and the corresponding BJH pore size distribution curve (b)

图7 CeO₂纳米空心球的制备原理图Fig.7 Schematic illustration of the formation of the CeO₂ hollow spheres

化机理,内部的粒子通过孔隙向球外转移,就出现了内部中空结构。向外转移的小粒子在溶液中表面活性剂的作用下继续生长再结晶,经历大量重排,最后形成内部空心的结构。随着反应时间的延长,就会形成粒径均一、单分散的纳米空心球^[10, 17-19]。经过高温煅烧后处理,前驱体空心球变成结晶完善,排列紧密,纯的立方萤石结构的CeO₂空心球。

2.7 吸附性能研究

由图8可以看出,吸附作用开始阶段(0~10 min),对重铬酸钾的吸附效果很明显,在30 min左右达到吸附平衡。延长吸附时间,吸附率增加变慢,再继续延长吸附时间,吸附率不再增加。对比图8中a, b, c曲线可以看到,CeO₂粉末对重铬酸钾的吸附率在接触300 min后达到21%,没有煅烧处理的前驱体样品的吸附率大约为23%,而经过煅烧处理后的CeO₂空心球对重铬酸钾的吸附率可达到70%,约为CeO₂粉末吸附率的三倍。其机理如Cao等^[12]报道,水热法制备的CeO₂空心球具有比较大的比表面积和有序的介孔结构,对重铬酸钾具有较强的吸附能力。Shen等^[14]和Xu等^[20]报道,经过煅烧处理后得到的CeO₂氧化物表面金属离子拥有较小的配位数,表现为路易斯酸,在水溶液中容易与水分子形成配位,由于水分子的离解性化学吸附,导致

氧化物表面羟基化。同时在水溶液中以阴离子形式存在的Cr(VI)与水合氧化物的正电活性中心产生电性吸附,表面羟基离子被置换,生成离子对配合物或络合物,使得吸附性有非常明显的提升,从而将重铬酸钾从水中分离、去除,达到很好的吸附效果。

3 结 论

通过水热法成功地制备了单分散、粒径均一的CeO₂空心球,空心球的直径约400 nm,壁厚约30 nm。水热法制备工艺简单,原料简单易得,产物为纯净立方萤石结构的介孔CeO₂空心球。由于较大的比表面积和多孔的结构,以及CeO₂与重金属离子的静电吸引和离子交换,使得CeO₂空心球对重铬酸钾溶液的吸附率达到70%,约为CeO₂粉末的3倍。

参 考 文 献

- 1 M. K. Devaraju, X. W. Liu, S. Yin, T. Sato, A rapid solvothermal synthesis of cerium oxide hollow spheres and characterization, *Journal of Solid State Chemistry*, **194**, 43(2012)
- 2 J. J. Wei, S. P. Wang, S. M. Sun, Z. J. Yang, Y. Z. Yang, Formation of catalytically active CeO₂ hollow nanoparticles guided by oriented attachment, *Materials Letters*, **84**(1), 77(2012)
- 3 T. X. T. Sayle, M. Cantoni, U. M. Bhatta, S. C. Parker, S. R. Hall, G. Möbus, M. Molinari, D. Reid, S. Seal, D. C. Sayle, Strain and architecture-tuned reactivity in ceria nanostructures; enhanced catalytic oxidation of CO to CO₂, *Chemistry of Materials*, **24**(10), 1811 (2012)
- 4 M. K. Devaraju, S. Yin, T. Sato, Morphology control of cerium oxide particles synthesized via a supercritical solvothermal method, *ACS Applied Materials & Interfaces*, **1**(11), 2694(2009)
- 5 J. H. Fang, Z. Y. Cao, D. S. Zhang, X. Shen, W. Z. Ding, L. Y. Shi, Preparation and CO conversion activity of ceria nanotubes by carbon nanotubes templating method, *Journal of Rare Earths*, **26**(2), 153(2008)
- 6 Z. J. Yang, D. Q. Han, D. G. Ma, H. Liang, L. Liu, Y. Z. Yang, Fabrication of monodisperse CeO₂ hollow spheres assembled by nano-octahedra, *Crystal Growth & Design*, **10**(1), 291(2010)
- 7 Z. Y. Guo, F. F. Jian, F. L. Du, A simple method to controlled synthesis of CeO₂ hollow microspheres, *Scripta Materialia*, **61**(1), 48 (2009)
- 8 Y. Chen, J. X. Lu, Facile fabrication of porous hollow CeO₂ micro-

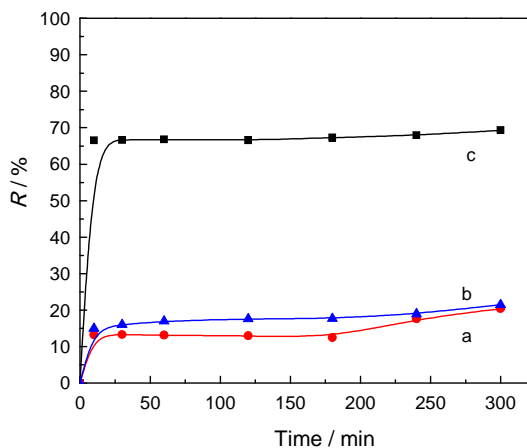


图8 样品在不同时间对Cr(VI)溶液的吸附率曲线

Fig.8 The absorption rate curve of Cr(VI) solutions at different time (a) CeO₂ powder, (b) the precursor, and (c) CeO₂ hollow spheres

- spheres using polystyrene spheres as templates, *Journal of Porous Materials*, **19**(3), 289(2012)
- 9 S. R. Wang, J. Zhang, J. Q. Jiang, R. Liu, B. L. Zhu, M. J. Xu, Y. Wang, J. L. Cao, M. Y. Li, Z. Y. Yuan, S. M. Zhang, W. P. Huang, S. H. Wu, Porous ceria hollow microspheres: synthesis and characterization, *Microporous and Mesoporous Materials*, **123**(1), 349 (2009)
 - 10 X. F. Liu, H. X. Yang, L. Han, W. Liu, C. Zhang, X. Y. Zhang, S. P. Wang, Y. Z. Yang, Mesoporous-shelled CeO_2 hollow nanospheres synthesized by a one-pot hydrothermal route and their catalytic performance, *Cryst. Eng. Comm.*, **15**(38), 7769(2013)
 - 11 J. Zhou, L. Xu, J. L. Sun, D. P. He, H. Jiao, Yolk-shell $\text{Au}@\text{CeO}_2$ microspheres: synthesis and application in the photocatalytic degradation of methylene blue dye, *Surface and Coatings Technology*, **271**(15), 119(2015)
 - 12 C. Y. Cao, Z. M. Cui, C. Q. Chen, W. G. Song, W. Cai, Ceria hollow nanospheres produced by a template-free microwave-assisted hydrothermal method for heavy metal ion removal and catalysis, *The Journal of Physical Chemistry C*, **114**(21), 9865(2010)
 - 13 D. E. Zhang, Q. Xie, M. Y. Wang, X. B. Zhang, S. Z. Li, G. Q. Han, A. L. Ying, A. M. Chen, J. Y. Gong, Z. W. Tong, O/W/O double emulsion-assisted synthesis and catalytic properties of CeO_2 hollow microspheres, *Solid State Sciences*, **12**(9), 1529(2010)
 - 14 G. L. Shen, H. D. Liu, Q. Wang, Z. Wang, Y. F. Chen, Self-template hydrothermal synthesis of CeO_2 hollow nanospheres, *Journal of Nanoparticle Research*, **14**(6), 1(2012)
 - 15 Z. J. Yang, J. J. Wei, H. X. Yang, L. Liu, H. Liang, Y. Z. Yang, Mesoporous CeO_2 hollow spheres prepared by Ostwald Ripening and their environmental applications, *European Journal of Inorganic Chemistry*, **2010**(21), 3354(2010)
 - 16 Z. J. Yang, L. Liu, H. Liang, H. X. Yang, Y. Z. Yang, One-pot hydrothermal synthesis of CeO_2 hollow microspheres, *Journal of Crystal Growth*, **312**(3), 426(2010)
 - 17 Y. Jiao, F. F. Wang, X. M. Ma, Q. H. Tang, K. Wang, Y. M. Guo, L. Yang, Facile one-step synthesis of porous ceria hollow nanospheres for low temperature CO oxidation, *Microporous and Mesoporous Materials*, **176**, 1(2013)
 - 18 K. Shen, F. X. Liang, J. G. Liu, X. Z. Qu, C. L. Zhang, J. L. Li, Q. Wang, W. Wei, Y. F. Lu, Z. Z. Yang, Inward template synthesis of intact hollow spheres, *Polymer*, **52**(20), 4418(2011)
 - 19 G. Z. Chen, F. F. Zhu, X. Sun, S. X. Sun, R. P. Chen, Benign synthesis of ceria hollow nanocrystals by a template-free method, *Cryst. Eng. Comm.*, **13**(8), 2904(2011)
 - 20 W. H. Xu, J. Wang, L. Wang, G. P. Sheng, J. H. Liu, H. Q. Yu, X. J. Huang, Enhanced arsenic removal from water by hierarchically porous CeO_2 - ZrO_2 nanospheres: role of surface- and structure-dependent properties, *Journal of Hazardous Materials*, **260**, 498 (2013)